

长江流域降雨的空间变化

许 孟 英

(中国科学院地理研究所)

关于长江流域降雨的研究，无论是区域分布、季节变化或降雨类型等，近年来都作了不少工作，但从方向及距离两方面讨论两站之间降雨气候特征，至目前为止，国内尚无人做过。作者认为用这种方法分析降雨特征，更多地考虑了地理因子，不仅是一种研究方法，在科学上也是有意义的。本文试用这种方法分析以汉口站为中心，与沿长江两岸地区4~9月降雨的关系。文内所包括的范围，系指 $25^{\circ}\sim 35^{\circ}\text{N}$, $110^{\circ}\text{--}120^{\circ}\text{E}$ 地区，共挑选51个台站，资料年代取自1953~1980年。台站分布如图1。

一、长江流域降雨的年际变化

长江流域幅员广大，各地区季风气候差异显著，降雨量分布是长江以南比以北多，长江中下游比上游多。降雨量多集中在4~9月，这几个月的降雨量，不仅在全年中是

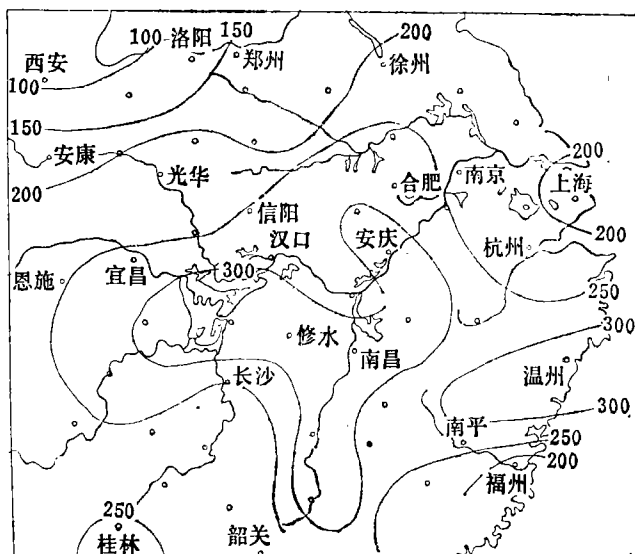


图1 台站分布及长江流域4—9月降雨量均方差分布图(毫米)
Fig. 1 The distribution of precipitation variance during April-Sept.
in the Yangtze River Basin

最大，且年际变化也大。一般来说，降雨量愈大地区，其变率也愈大。为了定量地比较长江流域各地汛期4～9月降雨量年际变化的差异，计算了汛期降雨量的均方差，从图1看出，汛期降雨量的均方差分布是长江以北比以南小，长江中游最大，下游次之，上游最小，这说明长江上游地区汛期降雨量各年之间变化比中游和下游小。

此外，还挑选了重庆、汉口、南京分别代表长江上游、中游、下游以及信阳、长沙代表长江以北和以南地区，计算汛期4～9月逐月均方差列于表1。从表1看出，汉

表1 长江流域4～9月逐月降雨量均方差(毫米)

Table 1 The variance of precipitation during April-Sept. in the Yangtze River Basin

站 名	月 分					
	4	5	6	7	8	9
	均 方 差					
重 庆	52.3	72.3	85.6	63.8	91.8	72.0
汉 口	61.8	67.5	131.3	137.6	122.6	53.8
南 京	41.7	57.1	109.5	133.5	80.7	66.8
信 阳	71.8	60.2	115.3	146.8	93.3	60.9
长 沙	63.4	83.5	92.1	87.9	80.7	69.7

口、南京、信阳最大均方差都出现在7月，长沙最大均方差出现在6月，因为夏季风是由南向北推进，长沙雨季来临较北边的信阳早。重庆地区最大均方差出现在8月，这可能与重庆地区地处西南，夏季经常有冷空气活动，雨季开始一般较东部同纬度地区晚有关。

二、相关场分析

从月平均降雨图中（图略）看出，汉口与周围地区各月降雨变化是有差别的，不但各年之间降雨多少有差异，就是同一年内各月降雨变化也是各种各样的。为了进一步分析研究汉口与周围地区降雨关系，我们采用了相关分析方法

$$\gamma = \frac{\sum (x - \bar{x})(y - \bar{y})}{\sqrt{\sum (x - \bar{x})^2 \sum (y - \bar{y})^2}}$$

我们以汉口为中心，分别与周围51个台站降雨进行逐月相关计算，计算结果绘制成图（略），从4～9月逐月相关图中看出有下面几个特点：

- 靠近汉口地区相关系数一般都比较大，随着距离增加，相关系数很快减小。
- 各月都以正相关出现较多，说明在汉口周围地区，降雨多少的变化与汉口有同步趋势，尤其是宜昌以东，沿长江两岸地区，在整个汛期，不仅降雨相关系数高，而且各月之间相关系数变化很小。
- 汉口与周围地区相关分布，除5月全为正相关外，其余月份在汉口以南华南一带及最北地区有小片负相关区，6～7月在黄河流域以南及南岭以北出现负相关区。形成南北遥相对，仅9月东南沿海是负相关区。必须指出，负相关系数一般都比较小，最大不超过-0.3（信度5%），这说明汉口降雨的多少，与这些地区虽有相反趋势，

但机率较小。

4. 相关系数高值区多分布在宜昌以东，沿长江两岸呈东西向分布，表明汉口地区降雨多少与长江中下游地区关系较为密切。但9月在南岭以南也出现小片高相关区。

从汉口与周围地区4~9月汛期降雨量相关场分布图2中看出（图2），这种分

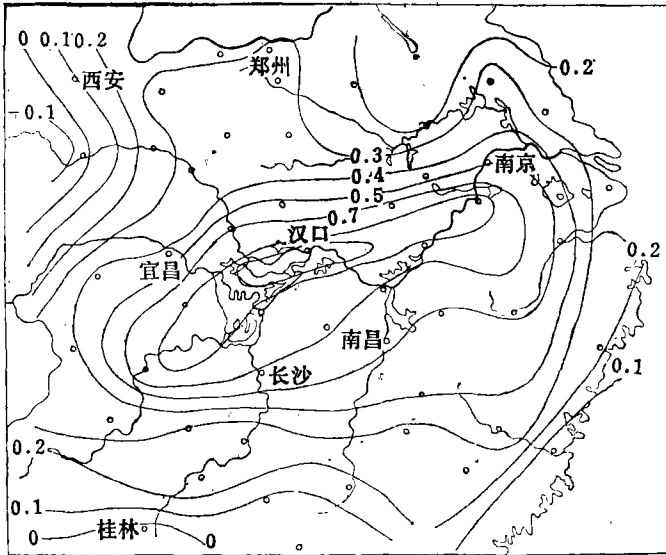


图2 汉口与周围地区4~9月降雨量相关系数分布图
Fig. 2 The correlation coefficient of precipitation during April-Sept. in Hanko and its adjacent regions

布趋势更加清晰。我们把信度达1%，用粗黑线表示，可以看出在长江以南信度达1%的范围显然比长江以北大。说明汉口降雨量多少与江南地区关系要比江北好。

表2给出各月相关系数 ≥ 0.5 （信度在1%）最大和最小距离，从表中看出最小距离各月之间变化不大，而最大距离变化较大，前后两月可相差300公里，最大最小距离差以6~7月最大，其次是8~9月，4~5月最小。

引起上述相关场分布的原因，除地理因子外，中低纬大气环流的变化起重要作用。影响长江流域降雨的因子虽很多，但是比较大规模的降雨，主要是由于冷暖空气相遇，因而形成大片的降雨区。在夏季，控制我国季风活动，主要是印度低压及太平洋高压。过去不少工作指出，西太平洋副热带高压的活动，是构成长江流域雨季的重要因子之一。夏季风自东南或南海挟带大量暖湿空气北上，温度高，湿度大，经常有冷空气从西北或北方南下，北上暖湿空气相遇于长江流域，形成梅雨锋系有时转为静止锋系，形成连续性降

表2 各月相关系数 ≥ 0.5 （信度1%）
最大和最小距离（公里）

Table 2 The maximum and minimum
distances with the correlation
coefficient ≥ 0.5 during April-Sept.

距离	月					
	4	5	6	7	8	9
最大	615	560	860	780	680	710
最小	175	195	260	178	175	175
差	440	365	600	602	505	535

水，此外，还常有西南涡沿着长江中下游的切变线东移发展，因此汉口与宜昌以东，特别是江南地区，在整个汛期相关比较好。

为了更好的说明夏半年汉口与周围地区降雨关系，下面按距离及方向分组讨论。

1. 按距离分组

首先量出汉口与各台站间实际距离，然后再按间距分组，共分为 <100 、 $101\sim200$ 、 $201\sim300$ 、 $301\sim400$ 、 $401\sim500$ 、 $501\sim600$ 、 $601\sim700$ 、 $701\sim800$ 公里八组，本文内所选用的台站距离汉口没有 <100 公里，因此实际共有七组。必须指出在按距离分组时，对方向是忽略的。

从图3中更清楚看出，相关系数大小是随距离而迅速减小，距离越近，相关系数越高，一般说来，在400公里距离内，这种现象比较明显。距离超过400公里，在个别月反而有随距离增大而升高的趋势，如7月在500—600公里相关系数增大比较明显，这可能与测站位置有关。

2. 按方向分组

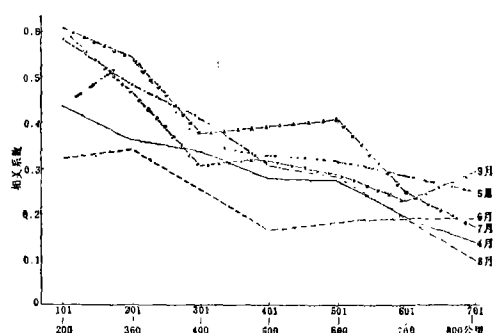
我们以汉口站所在经线为始点，而后顺时针量计算，从汉口到各台站之间的方位角，如果某一台站与汉口同在一条经线上，则在汉口以北地区方位角为 0° ，而在汉口以南台站方位角为 180° 。由于从

图3 4—9月不同距离相关分布

Fig. 3 The correlation distribution of precipitation with various distance during April-Sept.

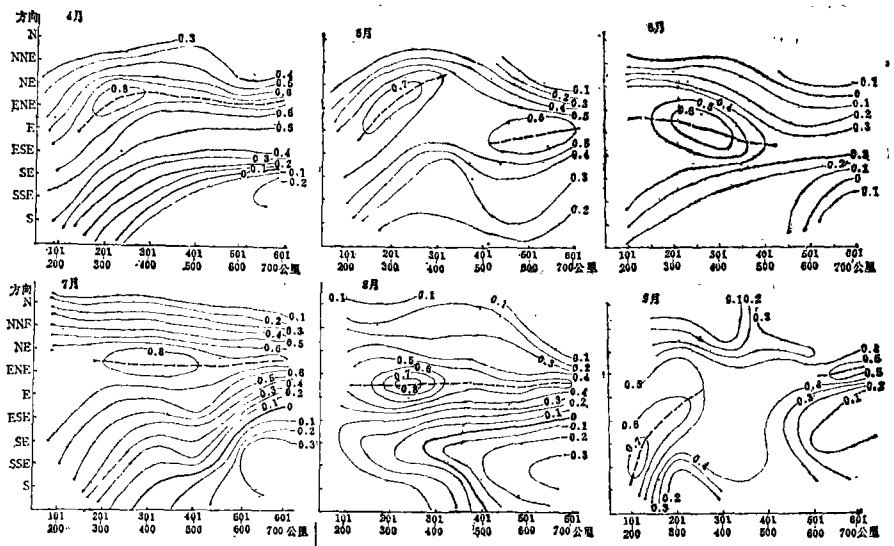
$0^\circ\sim180^\circ$ 与 $180^\circ\sim360^\circ$ 方向不同，因此我们分成东西二组（即 $0^\circ\sim180^\circ$ 为东， $360^\circ\sim180^\circ$ 为西），然后按 10° 间隔等分，并同时考虑距离，组成图4 A—B。

从图4A中看出，在最大相关方向的南面及北面，相关系数大小随距离分布，除9月份外，其余月份都比较有规律，靠近最大相关方向相关系数最大，愈向北（或南）相关系数愈小。这就是说汉口与其以东地区降雨关系，方向的影响比距离大。方向影响相关最小是在7～8月，这两个月最大相关方向是在 $200\sim600$ 公里之间很少变化，5月与9月变化趋势相近，而4月与6月最大相关方向随距离变化呈相反趋势，前者是由ESE向ENE方向变化，而后者是从ENE向ESE方向变化，图5A与图5B对照，最明显的差异是（1）在最大相关方向的南、北面，相关系数大小随距离分布，不如汉口以东地区有规律。（2）最大相关方向多集中在500公里以内，方向影响相关最小是4月。5、7、9月最大相关方向是自西南向西西南方向变化，6月及8月刚好相反是从西西南向西南方向变化。

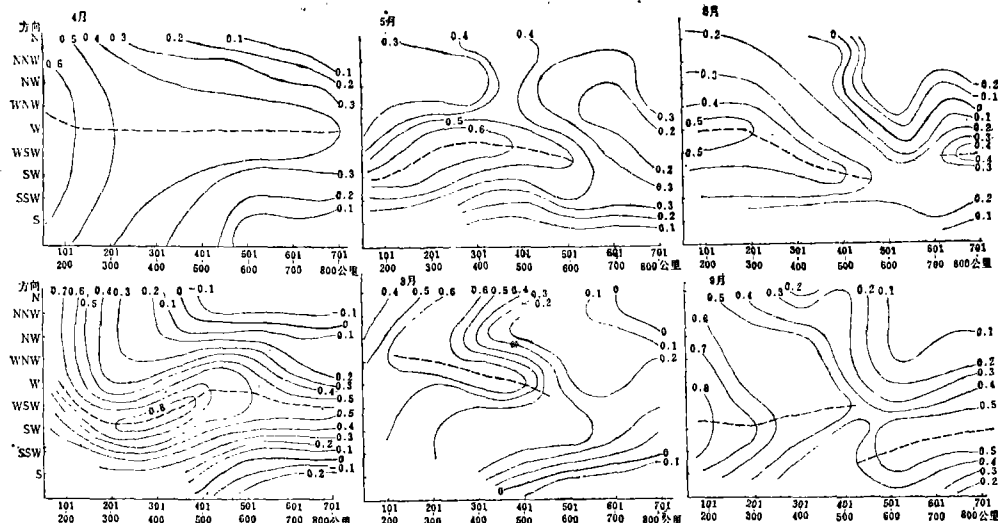


三、小 结

1. 靠近汉口地区相关系数大，随着距离增加相关系数减小，南北方向相关系数减小快，东西方向相关系数减小慢。最大相关系数多集中在宜昌以东，沿长江两岸地区。



A 汉口以东地区



B 汉口以西地区

(……最大相关方向)

图 4 4~9 距离与方向相关分布

Fig. 4 The correlation of precipitation with distance and direction

2. 长江流域汛期降雨量均方差分布，是长江以北比以南小，长江中游最大，下游次之，上游最小。

3. 汉口与周围地区相关分布，除西北地区（指本文分析范围）西安一带，与华南桂林一带，有小片负相关外，其余地区绝大部分为正相关。

4. 方向影响相关，在汉口以东地区，最小是在7～8月，在汉口以西地区是4月，最大相关方向在汉口以东多在NE～ENE方向，在汉口以西是SW～WSW方向。

参 考 文 献

- 〔1〕涂长望，长江流域雨量的相互关系，气象，13卷，4期，1937。
〔2〕叶笃正等，中国各季冷空气的活动，气象学报，25卷，1期，1954。

SPATIAL VARIATION OF PRECIPITATION OVER THE YANGTZE RIVER BASIN

Xu Mengying

(Institute of Geography, Academia Sinica)

ABSTRACT

In this paper, the author analyses the spatial variation of precipitation over the Yangtze River Basin, using the method of correlation coefficient based on data during April-Sept. from 1953 to 1980. The results are summarized as follows:

(1) There is well correlation near Hanko, but the coefficient decreases rapidly with increase of distance from it. The decrease is faster in south-west direction than one in east-west direction.

(2) The maximum correlation coefficient emerges in the east of Yichang along both sides of the Yangtze River.

(3) The maximum correlation directions are NW-NWW in the east of Hanko, and SW-SWW in the west of Hanko.